

05

© 1991 г.

## ДЕКАНАЛИРОВАНИЕ ЭЛЕКТРОНОВ ВЫСОКИХ ЭНЕРГИЙ НА ДИСЛОКАЦИЯХ

В. В. Белошицкий

Рассмотрено прохождение каналированных электронов через область, искаженную краевой или винтовой дислокацией. Показано, что этот процесс можно описать в приближении скачкообразного изменения положения атомных рядов и плоскостей, которое приводит к деканалированию в среднем около 30 % частиц, проходящих через искаженную область. Установлена максимальная длина деканалирования в дислокационном кристалле и пороговая энергия электронов, выше которой длина деканалирования уменьшается с ростом энергии. Получены приближенные оценки этих величин для кремния и вольфрама.

Исходя из проведенного анализа микроскопической картины прохождения каналированных частиц через дислокации, рассмотрен принцип детального равновесия и сформулировано общее уравнение переноса, описывающее кроме обычного многократного рассеяния также и деканалирование на дислокациях.

Дислокации создают в кристалле упругие деформации, которые распространяются на значительные расстояния. С ростом энергии  $E$  частиц возрастают требования к качеству кристалла, так как критический угол каналирования  $\phi_c$  уменьшается как  $1/\sqrt{E}$ . Квере определил [1] критический радиус изгиба атомных рядов и плоскостей, при котором возможно каналирование ионов, и исходя из этого нашел диаметр области в окрестности дислокации, где оно невозможно. Диаметр этих цилиндрических областей равен

$$\lambda_a = (abdE/(\beta Ze^2))^{1/2}$$

для аксиального и

$$\lambda_p = (Eb/(\alpha Ze^2 N_0 d_p))^{1/2}$$

для планарного каналирования соответственно, где  $\beta=15.8$ ,  $\alpha=1.45$  для краевой и  $\beta=5.6$  для винтовой дислокаций;  $b$  — вектор Бюргерса;  $N_0$  — атомная плотность;  $d$ ;  $d_p$  — пространственный период атомов цепочки или плоскостей;  $a$  — радиус экранирования Томаса—Ферми. Этот диаметр в несколько раз меньше, чем длина пути  $\lambda \approx 2\pi d/\phi_c$ , на котором происходит отклонение частицы атомной цепочкой или плоскостью.

Поэтому возможны проскакивание некоторых частиц через эту искривленную область и их каналирование в последующих прямолинейных участках. Путем машинного моделирования в [2] определена вероятность такого проскакивания ионов, как возможность попасть в область прицельных параметров, где нет сильного рассеяния и происходит устойчивое каналирование, и введен эффективный диаметр дислокации

$$\lambda_{a(p)}^e = W_{a(p)} \lambda_a(p),$$

где  $W_{a(p)}$  — средняя вероятность деканалирования при прохождении поврежденного участка диаметром  $\lambda_a$  (или  $\lambda_p$ ).

Однако для отрицательных частиц величина  $W_{a(p)}$  будет другой, кроме того, необходимо исследовать влияние когерентного рассеяния на атомных плоскостях

и осях. Это представляет интерес в связи с проведением в последнее время экспериментов по каналированию при высоких энергиях ( $E > 100$  ГэВ).

Рассмотрим простую модель краевой дислокации (см. рисунок), которая заключается в том, что криволинейные участки заменены ломаной линией. Вероятность рассеяния на наклонных участках цепочек можно легко получить в приближении случайных столкновений с цепочками [3]. В приближении для непрерывного потенциала  $U(r_{\perp}) = \alpha_1/r_{\perp}$  при  $\alpha_1 = 2Ze^2a/3d$  рассеяние в поперечной (относительно атомной цепочки) плоскости на угол  $\pi/2$  происходит с вероятностью  $\omega = (4a)/(\pi^2 r_0^2)$  (где  $\pi r_0^2$  — площадь поперечной плоскости, приходящаяся на одну атомную цепочку) на единице длины проекции пути в этой плоскости. Путь частицы в искривленной области, где каналирование нарушено, составляет величину порядка  $\lambda_a$ . Заметим, что при уменьшении угла  $\varphi$  между линией дислокации и импульсом частицы уменьшается эффективный размер области, где каналирование нарушено. Это происходит из-за уменьшения величины критического радиуса изгиба при косом падении на дислокацию. Однако длина пути в этой области остается постоянной. В поперечной плоскости проекция пути составит величину порядка  $\lambda_a \varphi_c$ . Вероятность рассеяния на цепочке составит, таким образом, величину

$$W_s = 4a\lambda_a\varphi_c/\pi^2 r_0^2 \ll 1.$$

Мы видим, что в случае аксиального каналирования достаточно учесть сдвиг цепочек. Этот теоретический вывод подтверждает сформулированное эмпирически, исходя из машинного расчета, Ван Флитом [2] правило. Так как рассеянием на искривленных участках атомных цепочек можно пренебречь, то можно считать, что при переходе из одного регулярного участка в другой поперечный импульс сохраняется. Это эквивалентно переходу из одного кристалла в другой в случае сложной мишени, состоящей из двух кристаллов [4].

Ниже мы приводим простые формулы для вычисления вероятности деканалирования в приближении изолированной атомной цепочки.

Если частица выходит из режима каналирования в точке  $\rho$  и входит в точке  $\rho' = |\rho + \Delta|$ , где  $\Delta$  — сдвиг цепочек, то ее поперечная энергия изменяется от  $E_{\perp} = (p_{\perp}^2/2m) + U(\rho)$  к  $E'_{\perp} = (p_{\perp}^2/2m) + U(\rho')$ . Из условия захвата в связанное состояние  $E'_{\perp} < 0$  имеем

$$U(\rho') - U(\rho) + U(\rho_{in}) \leq 0, \quad (1)$$

где  $\rho_{in}$  есть точка поворота, определяемая условием  $E_{\perp} = U(\rho_{in})$ .

Вероятность деканалирования частицы при прохождении дислокации с заданной поперечной энергией будет равна

$$C(\rho_{in}) = 1 - S'(\rho_{in})/S(\rho_{in}), \quad S(\rho_{in}) = \pi\rho_{in}^2,$$

$$S'(\rho_{in}) = \int_0^{\rho_{in}} \varphi_m \rho d\rho, \quad (2)$$

где  $\varphi_m$  определяется из условия

$$U(\sqrt{\rho^2 + \Delta^2 - 2\rho\Delta \cos \varphi_m}) = U(\rho) - U(\rho_{in})$$

и предполагается статистически равновесное (однородное) распределение в поперечной плоскости по  $\rho$ .

При условии, что распределение по  $\rho_{in}$  однородно в пределах от 0 до  $\rho_{in}$  ( $\rho_{in}$  определяет максимальное удаление от цепочки при связанном движении в пределах одной цепочки), получаем вероятность деканалирования

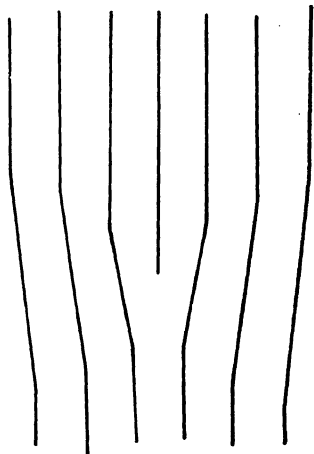


Схема модели краевой дислокации.

$$\chi = 1 - \frac{1}{\rho_{in}^2} \int_0^{\rho_{in}} C(\rho_{in}) \rho_{in} d\rho_{in}. \quad (3)$$

При наклонном падении пучка под углом  $\psi_{in}$  величина  $\rho_m$  находится из условия (начального захвата)

$$\frac{1}{2} E \psi_{in}^2 + U(\rho_{in}) = 0.$$

Рассмотрим планарное каналирование. В этом случае возможно отражение от искривленных плоскостей при малых углах изгиба.

Если ось  $x$  направлена вдоль плоскости скольжения (вектора Бюргерса  $\mathbf{b}$ ), а ось  $y$  нормальна к ней, то смещение по оси  $x$  равно [5]

$$U_x(x, y) = \frac{b}{2\pi} \left\{ \arctg \frac{y}{x} + \frac{1}{2(1-\sigma)} \frac{xy}{x^2 + y^2} \right\}, \quad (4)$$

где  $\sigma$  — коэффициент Пуассона.

Угол наклона плоскости в области искажения в нашей модели (см. рисунок) равен (на расстоянии  $\lambda_p$ )

$$\frac{\partial U_x(x = \lambda_p, y = 0)}{\partial y} = \frac{(3-2\sigma)b\psi_{c,a}}{4\pi(1-\sigma)\sqrt{br_0}} \sqrt{\frac{\alpha}{\pi} \frac{d_p}{r_0}} \approx \frac{3}{4} \frac{\psi_{c,a}}{\pi}, \quad (5)$$

где  $d_p$  — расстояние между плоскостями,  $\psi_{c,a}$  — критический угол для некоторой оси,  $\pi r_0^2$  — площадь этого осевого канала.

Этот угол оказывается примерно равен критическому углу плоскостного каналирования. Следовательно, при входе в искаженный участок частицы не будут отражаться, так как их поперечная энергия будет выше барьера. Поскольку изменения поперечного импульса при этом будут незначительны, то проблема опять сводится к перезахвату во втором прямолинейном участке.

Те же рассуждения, что и для аксиального случая, приводят к следующей формуле для вероятности деканалирования:

$$\chi = 1 - \frac{2}{d_p} \int_0^{d_p/2} \frac{2dx_{in}}{T(x_{in})} \int_{x_{in}}^{x_{max}} \frac{dx}{\sqrt{2m(E_{\perp} - U(x))}}. \quad (6)$$

Для приближения планарного непрерывного потенциала параболой

$$U(x) = -kx^2, \quad -\frac{d}{2} \leq x \leq \frac{d_p}{2} \quad (7)$$

возможно дальнейшее упрощение

$$\chi = 1 - \frac{1}{d_p} \int_0^{d_p/2} \frac{2dx_{in}}{T(x_{in})\sqrt{2mk}} \ln \left| \frac{(x_1 + \sqrt{x_1^2 - x_{in}^2})(x_2 + \sqrt{x_2^2 - x_{in}^2})}{x_{in}^2} \right|, \quad (8)$$

$$T = \frac{4}{\sqrt{2mk}} \ln \left| \left( \frac{d_p}{2} + \sqrt{\left( \frac{d_p}{2} \right)^2 - (x_{in})^2} \right) / x_{in} \right|,$$

где

$$x_1 = \frac{x_{in}^2 + \Delta^2}{2\Delta}, \quad x_2 = \frac{x_{in}^2}{2(d_p - \Delta)} + \frac{d_p - \Delta}{2}.$$

В табл. 1 приведены величины вероятности деканалирования для Si  $\langle 111 \rangle$  и Si  $\langle 110 \rangle$  в зависимости от смещения цепочек или плоскостей. Последнее определяется углом наклона вектора  $\mathbf{b}$  относительно направления каналирования, т. е. углом между  $\mathbf{b}$  и  $\mathbf{v}$ :  $\Delta = b \sin \varphi$ .

Отметим, что если использовать относительные величины, то в (6) и (7) нет зависимости от величины  $d_p$ , т. е. этот результат является общим.

Таблица 1

Вероятность деканализирования  $\chi$  электронов на дислокации в зависимости от смещения

$\Delta\dot{\text{A}}$	$\chi$	$\chi$	$\Delta\dot{\text{A}}$	$\chi$	$\chi$
	Ось $\langle 111 \rangle$ Si	Плоскость $\{110\}$ Si		Ось $\langle 111 \rangle$ Si	Плоскость $\{110\}$ Si
0.1	0.11	0.16	0.6	0.46	0.47
0.2	0.20	0.24	0.7	0.51	0.48
0.3	0.28	0.31	0.8	0.55	
0.4	0.35	0.37	0.9	0.59	
0.5	0.41	0.42	1.0	0.63	

Кривизна каналов, а вместе с ней и поперечник  $\lambda_{a(p)}^{ef}$ , также зависят от  $\varphi$ . Это дает дополнительный весовой множитель  $\sin \varphi$  при усреднении по  $\varphi$  вероятности деканализирования  $\chi$ . После этого усреднения было получено  $W_a=0.2$ ,  $W_p=0.3$ .

Вероятность деканализирования на дислокациях на единице пути равна  $\gamma = N_d \lambda^{ef}$ , где  $N_d$  — плотность дислокаций на единицу площади. Эта вероятность дает убыль деканализированных частиц с толщиной кристалла по закону  $e^{-\gamma t}$ , соответственно модифицируется функция деканализирования  $\chi_d(t) = 1 - e^{-\gamma t} (1 - \chi(t))$ . Используя функцию деканализирования для идеального кристалла, полученную ранее [8], и полагая концентрацию дислокаций равной типичной для кремния величине  $N_d = 10^2$  см, получили функцию деканализирования для нескольких значений энергии электрона в планарном случае (табл. 2).

Таблица 2

Функция деканализирования  $\chi_d$  в зависимости от толщины кристалла Si (110) и энергии электрона при плотности краевых дислокаций  $N_d = 10^2$  см<sup>-2</sup>

$E = 100$ ГэВ		$E = 1000$ ГэВ		$E = 10\,000$ ГэВ	
$t$ , мм	$\chi_d$	$t$ , мм	$\chi_d$	$t$ , мм	$\chi_d$
0.5	0.49	5	0.63	5	0.65
1.0	0.61	10	0.79	10	0.88
1.5	0.66	15	0.86	15	0.96
2.0	0.69	20	0.91	20	0.98
2.5	0.72	25	0.94	25	0.99
3.0	0.78	30	0.96	30	1.00
3.5	0.80	35	0.97	35	1.00
4.0	0.82	40	0.98	40	1.00

Для средних толщин можно аппроксимировать функцию деканализирования идеального кристалла экспонентой  $\chi = 1 - \exp(-t/x_e)$ . Очевидно, в этом приближении длина деканализирования с учетом дислокаций равна

$$x_d^{-1} = \gamma + x_e^{-1}. \quad (9)$$

Величины  $\gamma^{-1}$ ,  $x_e$  приближенно изменяются с энергией частицы согласно законам

$$\gamma^{-1} = k_d \sqrt{E}, \quad x_e = k_{th} E. \quad (10)$$

Из (9) и (10) следует, что длина деканализирования достигает при некоторой энергии

$$E_m = (2k_d/k_{th})^{2/3} \quad (11)$$

максимального значения  $x_m \approx 0.3x_e(E_m)$ , а при дальнейшем увеличении энергии спадает.

Более точно деканалирование на дислокациях можно учитывать в кинетическом уравнении с помощью интегральных столкновительных членов. Например, в планарном случае

$$\frac{\partial F(E_{\perp}, t)}{\partial t} = \frac{\partial}{\partial E_{\perp}} DT \frac{\partial (F/T)}{\partial E_{\perp}} + \int \gamma(E'_{\perp}, E) \left[ \frac{T(E'_{\perp})}{T(E_{\perp})} F(E'_{\perp}, t) - F(E_{\perp}, t) \right], \quad (12)$$

где  $\gamma(E'_{\perp}, E)$  — вероятность изменения поперечной энергии при прохождении дислокации от  $E_{\perp}$  к  $E'_{\perp}$ ;  $T$  — период поперечных колебаний каналированной частицы;  $D$  — коэффициент диффузии из-за рассеяния на тепловых колебаниях и электронах.

В уравнении (12) мы воспользовались соотношением

$$\gamma(E'_{\perp}, E) T(E_{\perp}) = T(E'_{\perp}) \gamma(E_{\perp}, E'_{\perp}), \quad (13)$$

которое является соотношением детального баланса для нашего случая. Действительно, как показано выше, при переходе через дислокацию сохраняется распределение по поперечным импульсам, так что для планарного случая, например, имеем

$$\frac{d^2 N}{dx dp_{\perp}} = \frac{d^2 N}{dx' dp'_{\perp}}, \quad p_{\perp} = p'_{\perp}, \quad x' = x + \Delta.$$

Отсюда для распределения по  $E'_{\perp}$  и координате  $x'$  имеем

$$v_{\perp} f(E_{\perp}, x) = v'_{\perp} f'(E'_{\perp}, x'). \quad (14)$$

При статистическом равновесии полное число частиц с данной поперечной энергией на один канал равно  $F(E_{\perp}) = T v_{\perp} f(E_{\perp}, x)$ .

Тогда из (14) следует равенство  $F(E_{\perp})/T(E_{\perp}) = F(E'_{\perp})/T(E'_{\perp})$ ,

эквивалентное (13). В аксиальном случае при азимутальной симметрии задача является одномерной. Разница лишь в том, что радиальное движение определяется не одним параметром  $E_{\perp}$ , а двумя  $E_{\perp}$  и  $M_x$ , где  $M_x$  — момент количества движения относительно атомной цепочки. В аксиальном случае, таким образом, добавится одна переменная — проекция момента импульса. Величины  $\gamma(E'_{\perp}, E_{\perp})$  могут быть получены численно. Заметим, что границы между зернами в мозаичном кристалле образуются совокупностями дислокации и их можно рассматривать аналогичным образом.

Практический интерес представляет измерение величины максимальной длины деканалирования. Согласно соотношениям (14), она должна убывать с ростом концентрации дислокаций как  $N_d^{-1/2}$ . По такому же закону должна убывать и энергия  $E_m$ , при которой она должна наблюдаться. Произведем оценку этих величин для кремния и вольфрама. Величина  $k_{th} \approx 20$  мкм/ГэВ для Si и 4 мкм/ГэВ для W (деканалирование на тепловых колебаниях), а  $k_d = 3 \cdot 10^6$  и  $10^3$  мкм/ГэВ<sup>1/2</sup> при  $N_d = 10^2$  и  $10^5$  см<sup>-2</sup> для Si и W соответственно.

Отсюда получаем, что  $E_m = 600$  и 20 ГэВ для Si и W, а  $x_m = 1.2$  см и 80 мкм. Более реалистично для металлов  $N_d \sim 10^8$  см<sup>-2</sup>, тогда  $E_m$  падает до 200 МэВ.

#### Список литературы

- [1] Quere Y. // Phys. Lett. A. 1968. Vol. 26. P. 578—581.
- [2] Van Vliet D. // Phys. Stat. Sol. (a). 1970. Vol. 2. № 1. P. 521—529.
- [3] Белошицкий В. В., Кужахов М. А. // ФТТ. 1973. Т. 15. Вып. 5. С. 1588—1592.
- [4] Белошицкий В. В., Хоконов А. Х. // Тез. докл. III Всесоюз. конф. по излучению релятивистских частиц в кристаллах. Нальчик, 1988. С. 83.
- [5] Ландау Л. Д., Луфшиц Е. М. Теория упругости. М.: Наука, 1965. 202 с.
- [6] Beloshitsky V. V., Trikalinos Ch. // Rad. Eff. 1981. Vol. 58. N 1. P. 71—76.